

И.И. Разгильдеева, С.А. Решетова, В.Б. Попов

НОВЫЕ ДАННЫЕ ИССЛЕДОВАНИЙ ПОСЕЛЕНИЯ СТУДЕНОЕ-1 (К вопросу о возрасте культурных горизонтов)¹

В 2005–2007 гг. на территории Западного Забайкалья проводились комплексные исследования многослойных поселений Студеное-1, 2 — опорных памятников Студеновского археологического комплекса (САК), расположенного в двух километрах от с. Нижний Нарым Красночико́йского района (юго-запад Читинской области) у впадения правобережного руч. Студеный в р. Чикой. С левой стороны к р. Чикой выходит Мельничная падь с одноименным ручьем (рис. 1). Общий характер ландшафта — горно-таежный. Река отделяет отроги Малханского хребта (Кударинскую и Бичурскую гряды) от Зачикойской горной страны. Долина реки в этом месте суженная, эпигенетическая и асимметричная: правый склон пологий, левый — крутой.

Для оценки адаптивной привлекательности данной территории следует отметить, что на приустьевом участке по правобережью руч. Студено-

го поверхности I и II террас образуют ровные площадки, вытянутые вдоль р. Чикой. Они ограничены с северо-запада руслом ручья, с северо-востока — р. Чикой, с юго-запада — уступом террасы высотой 25–30 м. Поверхности I и II террас прежде распахивались, сейчас они задернованы. С отложениями террас связаны многослойные поселения Студеное-1 и Студеное-2, включающие культурные горизонты от позднего палеолита до эпохи бронзы. Условная площадь поселений определяется площадью около 2500 кв. м.

Расположенная с северо-запада островерхая сопка Сторожевая имеет скалистый мысовидный уступ, вдающийся в русло Чикоя. Мыс расположен выше ручья, стержневая часть русла всегда отжималась к правобережью реки, при этом устье руч. Студеного превращалось в залив главной реки. В образовавшемся «теновом» заливе складывались условия замедленного, полустойкого течения, при котором накапливались тонкие псаммитовые и алевроитовые осадки [Базарова 1985]. Сужение долины р. Чикой в период паводков определяло значительный подъем уровня воды, при понижении которого ровная

¹ Работа выполнена при финансовой поддержке Российского фонда фундаментальных исследований № 05-06-97200 и Единого заказа-наряда МО № 01.0002.00.

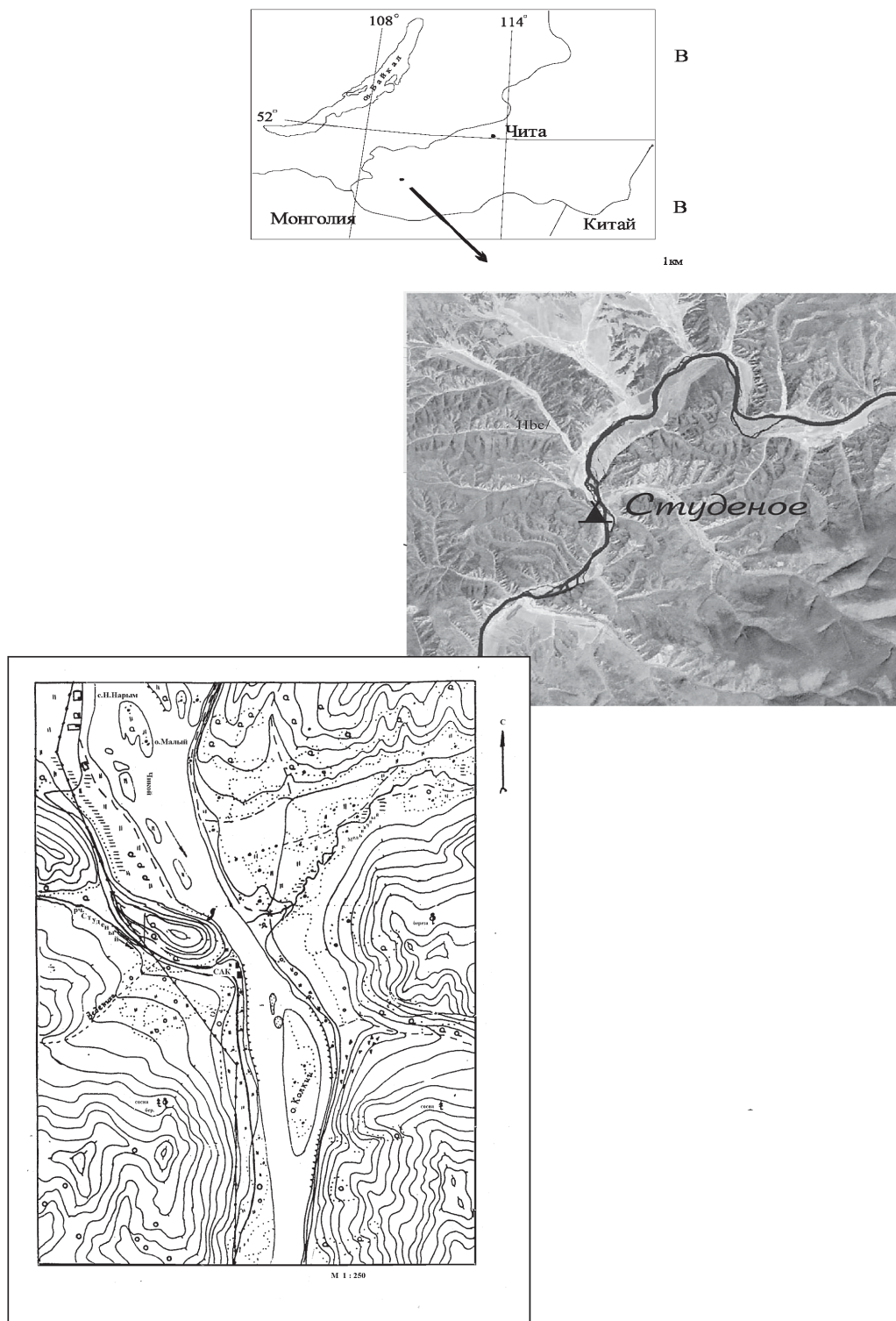


Рис. 1. Местоположение Студеновского археологического комплекса

прибрежная площадка обсыхала и становилась пригодной для обитания. Регулярность данных процессов подтверждается многослойностью памятников, где культурные горизонты (к/г) разделяются тонкими стерильными илисто-песчаными прослойками. Сопка защищает выделенный участок от преобладающих юго-западных ветров, направленных вдоль течения реки. Исток руч. Студеный располагается в зоне развития вечной мерзлоты, поэтому температура воды даже в летний период отличается низкими значениями. Имея адаптивную привлекательность в качестве постоянного источника питьевой воды, ручей в то же время относится к негативным структурирующим факторам и определяет в резко континентальных климатических условиях значительный перепад суточных температур и устойчивую розу ветров. В зоне САК располагаются три природных солонца, что важно с точки зрения охотничьих стратегий.

В настоящей работе представлены результаты исследований поселения Студеное-1, связанного с отложениями I террасы р. Чикой. Высота террасы по бровке — 5,0–6,0 м. Она прислонена ко II террасе высотой 9–10 м, которая переходит в длинный пологий склон, выходящий к 35–40-метровому уровню [Базаров и др. 1982; Константинов 1994]. В настоящее время фронтальный уступ террас крутой, заросший деревьями и кустарником. Латеральный уступ II террасы, выходящий на I, сглаженный с перепадом высотой в 3 м, свободный от древесной растительности. Выше поверхности II террасы начинается 12-метровый уровень.

Памятник изучается с 1974 г. [Константинов 1994]. К 2004 г. общая площадь вскрытия составила 1060 кв. м, поселение вытянулось вдоль реки примерно на 200 м. С учетом различий в генезисе отложений I террасы, выявленных в ходе раскопок, поселение условно поделено на два участка: непосредственно у руч. Студеного (участок 1) и в 50 м на юго-восток вдоль р. Чикой (участок 2). Участки соединены между собой сначала траншеей, а затем серией раскопок, что позволило зафиксировать ряд продольных и поперечных разрезов и проследить полный стратиграфический профиль I террасы протяженностью 81 м. Мощность отложений участка 1 — 5,8 м, участка 2 — 3,4 м.

В изучении памятника в разные годы принимали участие геологи: к.г.-м.н. Д.Д.-Б. Базаров,

д.г.-м.н. С.М. Цейтлин, к.г.-м.н. Л.Д. Базарова, В.В. Карасев и др. В результате было выполнено «совокупное» описание разреза I надпойменной террасы поселения Студеное-1 (обобщающее характер отложений двух участков), при публикации которого в графическом изображении представлялась стратиграфия участка 2 как «наиболее полный разрез отложений» [Геология и культура... 1982: 46–47]. Разрез участка 1 давался только его верхней частью как наиболее выразительной и включающей черные палеопочвенные прослойки и культурные горизонты. В дальнейшем выполненное в таком ракурсе описание автоматически переносится во все публикации о памятнике.

Характеризуя разрез, исследователи разделили отложения на следующие толщи: верхняя пылеватая толща, возможно, эолового генезиса (литол. слой 2), аллювиальные отложения пойменной фации (литол. слои 3–7), отложения русловой фации (литол. слой 8). В свою очередь отложения пойменной фации делились на две пачки: верхнюю — аллювиальные отложения наложенной или наращенной поймы (литол. слои 3–4) и нижнюю — нормальные аллювиальные отложения пойменной фации собственно I террасы. По имеющимся радиоуглеродным датам, нижняя пачка сформировалась в позднеархангельское время в интервале от 13 до 10,7 тыс. л.н. По мнению Д.Д.-Б. Базарова [1986: 93], возраст нижней пачки верхнеплейстоценовый (к/г 13–19), а наложенные пойменные осадки с к/г 2–12 являются уже раннеголоценовыми образованиями.

Кровля отложений русловой фации представлена погребенными образованиями руч. Студеного и грубыми отложениями, снесенными с близ расположенного мыса. Она является нижней границей распространения культурных горизонтов поселения. На участке 2 русловые отложения сформировали погребенный прирусловой вал. Относительная высота вала составляет 1,0–1,5 м и ширина — до 3 м. За прирусловым валом галечник на глубине 2,80–2,88 м принимает горизонтальное положение. На участке 1 над галечником появляется мощная толща косослоистых светло-серых прирусловых песков, образующих погребенную косу р. Чикой или прирусловую отмель, по-видимому наложенную на русловой вал. Мощность песков достигает 3 м.

В совокупности в разрезе отложений I-й надпойменной террасы выявлено 38 к/г, датированных от 12,8 до 2 тыс. л.н. На участке 1 выявлены 28 к/г: 13/1, 13/2 датируются ранним мезолитом (10,8–10,3 тыс. л.н.); 12/а–б, 11/а–б, 10/а–б — поздним мезолитом (8,0–6,5 тыс. л.н.); 9/а–9/з, 8 — ранненеолитические (6,5–5,5 тыс. л.н.); 4, 3, 2/б, 2/а — поздненеолитические (5,5–4,5 тыс. л.н.); 1в, 1б — ранняя бронза, 1а — поздняя бронза. По разрезу участка 1 между к/г 13/1 и 12/б отмечался перерыв в осадконакоплении, который, по мнению М.В. Константинова [1994], приходился на период 10,3–8,0 тыс. л.н.

В нижней части отложений участка 2 выявлены десять горизонтов палеолитического времени — 19/4–19/1, 18/2, 18/1, 17–14 (не представленных на участке 1). Они датируются в пределах 12,8–10,8 тыс. л.н. При этом к/г 19/4 связан с отложениями, непосредственно перекрывающими поверхность галечника I террасы.

Результаты археологических раскопок, с привлечением данных по стратиграфии, геологии, палинологии, палеонтологии и др., широко освещены в многочисленных публикациях. При этом одним из главных положений стал тезис о голоценовом возрасте основной части аллювиальных отложений I надпойменной террасы р. Чикой, которая характеризуется чередованием выразительных черных гумусированных палеопочвенных прослоек с горизонтами светло-серых чаще мелкозернистых песков. Именно наличие этих «черных» прослоек, а также появление ранней керамики (к/г 9/ж) укрепили авторов раскопок в этом мнении [Константинов 1994]. Радиоуглеродные даты, укладываемые в промежутке 10–12,5 тыс. л.н., были приняты критически и отнесены к категории «некорректных».

В рамках решения проблем реконструкции изменения природных обстановок и палеоклиматов в позднем неоплейстоцене — голоцене Забайкалья в 2004 г. с учетом новых методик и требований лабораторного анализа было отобрано более 200 (с пятисантиметровым шагом) палинологических проб по всей мощности разрезов Студеного-1 (как одного из опорных памятников археологии Западного Забайкалья). При этом изучались и субрецентные (поверхностные) спорово-пыльцевые спектры с территории всего Студеновского геоархеологического полигона, включая пробы из отложений современного аллювия

р. Чикой, с поверхностями высокой и средней пойм.

Одновременно с полевыми исследованиями систематизировались сведения, полученные в ходе многолетних работ по стратиграфическим разрезам поселения. Полевые чертежи профилей Студеного-1 сканировались и оцифровывались при помощи графического редактора CorelDraw в масштабе 1:40. При объединении всех данных по разрезам были составлены полные колонки отложений, охватывающие основную часть I террасы. В результате получены электронные версии продольных и поперечных разрезов отложений участков 1 и 2 поселения в векторном формате (рис. 2, 3). При комплексном анализе графических материалов, дополненных данными палинологии, выявились моменты, позволившие по-новому взглянуть на известные положения относительно стратиграфии кайнозойских отложений поселения Студеное-1.

На полных профилях разрезов всей террасы «проявились» изменения в характере и мощности литологических слоев, что оставалось за рамками локальных разрезов. В ходе работ составлено описание отложений террасы, которое в целом сохраняет основные черты стратиграфии, опубликованной ранее исследователями, но имеет свои особенности.

Ниже приводится описание стратиграфического разреза I террасы с учетом новых данных (в скобках арабскими цифрами указана нумерация слоев, принятая у Д.-Д.Б. Базарова [1986] и М.В. Константинова [1994]):

I — (1) Почвенно-растительный слой. Культурный горизонт 1 А.

II — (2) Супесь тонкая, пылеватая, палево-бурого цвета. Верхняя часть слоя имеет каштановый оттенок и отличается расплывчатыми пятнами органики. К этой части приурочен культурный горизонт ранней бронзы (1 Б) мощностью 0,2 м. Ниже супесь становится более светлой и грубой. В этой части слоя на локальном участке выявлен горизонт 1 В (ранняя бронза). С основанием слоя связаны вершины клиньев, разрывающих нижележащие отложения. Мощность слоя непостоянная.

III — (3) Супесь серая и светло-серая, пылеватая, с пятнами и вкраплениями ожелезнения. Слоистость слабовыраженная, тонкая. Со слоем связано шесть культурных горизонтов (2–7) сред-

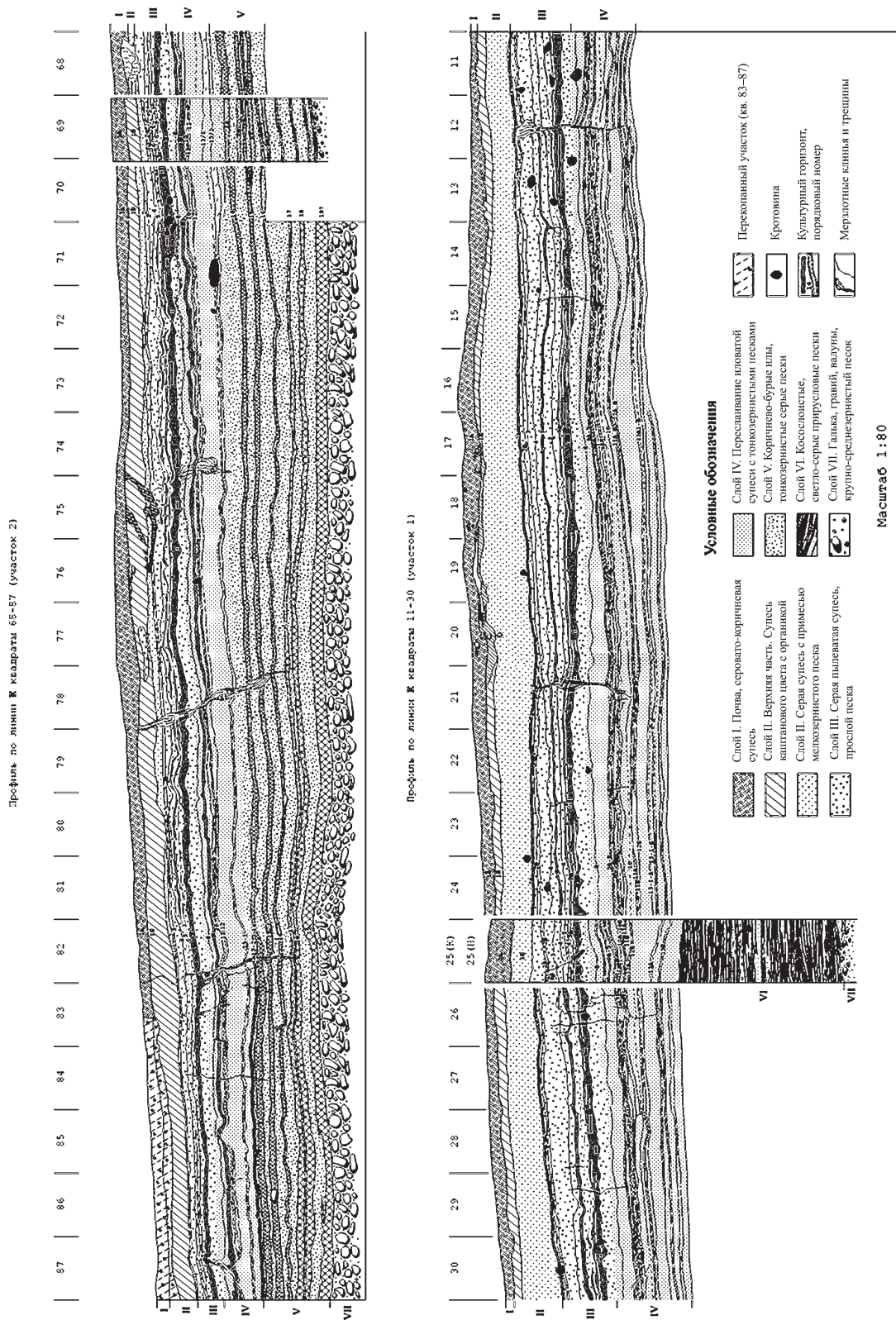


Рис. 2. Полный профиль разреза поселения Студеное-1 по линии К

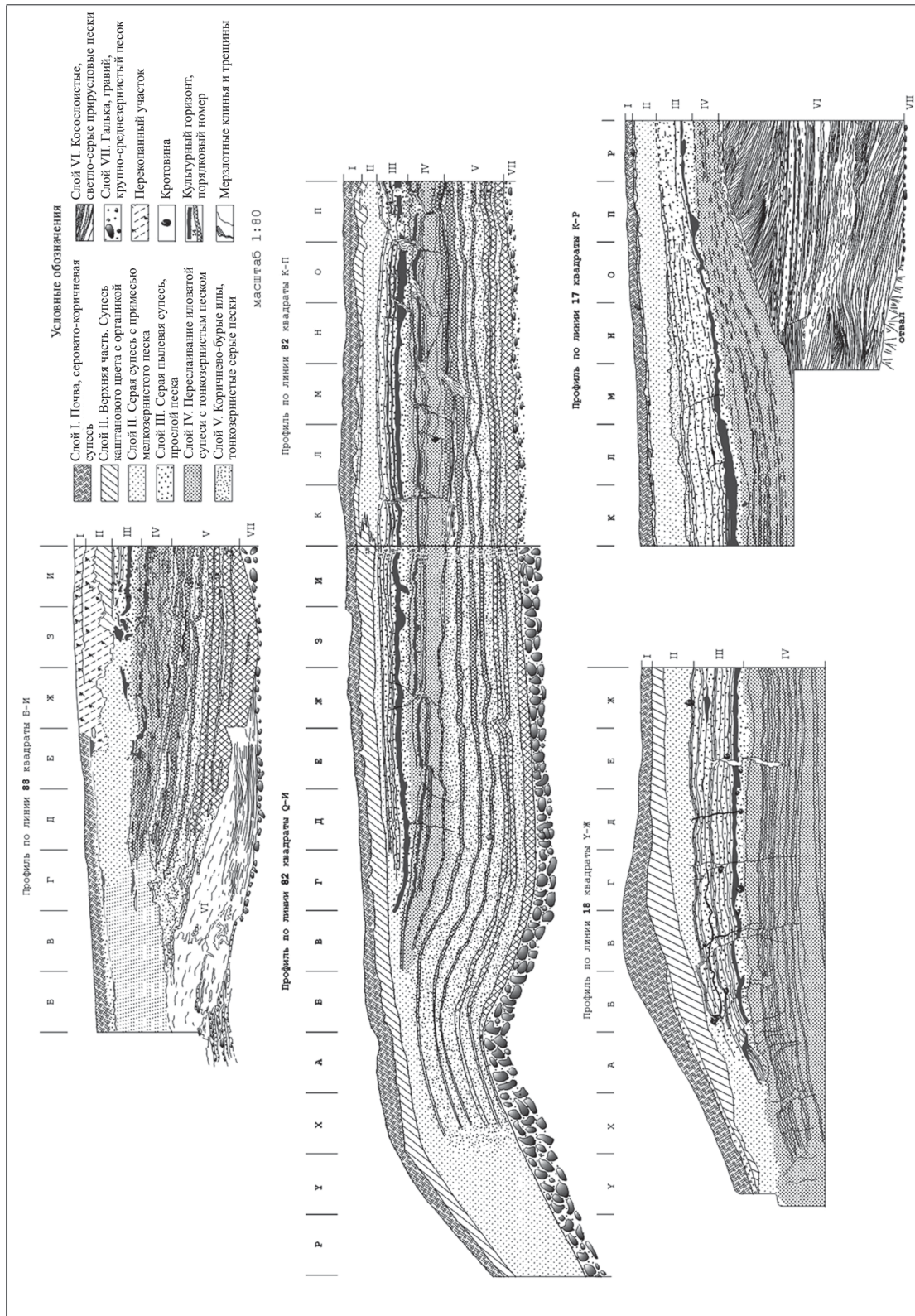


Рис. 3. Профили разрезов поселения Студеное-1

него и позднего неолита. Они сильно гумусированные, черносажистые, темно-коричневые. Супесь рядом с культурными горизонтами становится более темноглинистой за счет частичного размыва и рассеивания гумусированных прослоек. Мощность прослоек 1–10 см. В основании слоя заметен прослой серого, хорошо отмытого разнозернистого песка. Мощность прослоек колеблется от 7 до 20 см.

IV — (4–5) Верхняя часть отложений включает переслаивание серой иловатой супеси с тонкозернистым заиленным песком. С ней связано пять культурных горизонтов (8–12), представленных тонкими гумусированными прослойками мощностью 0,5–10 см. Они сложены довольно пористым слюдястым, жирным на ощупь илом. В слое замечены мелкие пятна и вкрапления ожелезнения и марганценосности (4). Нижняя часть — неясное переслаивание тонкозернистых серовато-желтых песков с иловатыми супесчаными прослойками мощностью 8–10 см. Более мощным является верхний песчаный прослой с линзовидными включениями среднезернистых песков. С основания слоя прослеживаются вершины клиньев. С двумя иловатыми прослойками, лежащими на 3–4 см соответственно выше и ниже илесто-песчаного прослоя, связаны к/г 13/1, 13/2.

V — (6–7) Выделен только на разрезе участка 1. Илесто-тонкопесчаный слой с двумя илистыми сероватыми прослоями мощностью 7–8 см в кровле и на 25 см ниже кровли, с которыми связаны к/г 14, 15. В основании слоя иловатый прослой мощностью 8 см. Слоистость горизонтальная. Переслаивание коричнево-бурых вязких илов и тонкозернистых светло-серых песков. Мощность иловатых прослоек увеличивается вниз по слою от 5 до 10 см. Иловатые прослойки содержат культурные горизонты позднего палеолита (16, 17, 18/1, 18/2, 19/1–19/4). Слоистость четкая, горизонтальная и горизонтально-волнистая. Границы кровли и подошвы четкие, подчеркнуты прослоями песка.

VI — Косослоистые светло-серые прирусловые пески мощностью до 3 м (только в разрезе участка 1).

VII — (8) Галечники и мелкие валуны слабоокатанные с крупнозернистым песком и гравием.

При сравнении данной колонки с описанием культурных горизонтов Д.-Д.Б. Базарова видно,

что I, II, III слои совпадают с общепринятыми; слой IV является объединением литол. слоев 4 и 5; слой V возник при объединении литол. слоев 6 и 7. Для участка 1 отдельно выделен литол. слой VI. Слой VII совпадает со литол. слоем 8.

При анализе разреза Студеного-1 вдоль траншеи по линии «К» (см. рис. 2), который протянулся на 81 м вдоль русла р. Чикой, были выявлены следующие закономерности:

— Северный край разреза, где находится участок 1, имеет превышение над южным краем (участок 2) на 3,5 м.

— Литологические слои I, II с небольшими вариациями прослеживаются по всей длине разреза террасы. Слой II имеет однородный состав, переменчивую мощность и с размывом залегает на нижележащих слоях, что особенно хорошо видно на поперечных профилях. На участке 2 увеличивается мощность каштанового слоя с органикой, по сравнению с другими местами.

— Слои III, IV прослеживаются на всем протяжении разреза вдоль траншеи. Общая мощность их уменьшается с 2,3 м на интервале, относящемся к участку 1, до 1,2 м — на участке 2. В этих слоях контрастно выделяются соответственно культурные горизонты 7 и 9. Культурный горизонт 7 имеет мощность около 10 см и прослеживается непрерывно по всему разрезу. Культурный горизонт 9 на участке 2 имеет примерно такую же мощность, но в кв. 58 расщепляется и в районе участка 1 делится на восемь тонких илистых прослоек (к/г 9а–9з).

— Литологический слой V на участке 2 залегает на галечнике (литол. слой VI) и подстилает вышележащие слои I–IV. Он прослеживается на участке 2 и выклинивается в районе кв. 61–63 вместе с палеолитическими к/г 14–19, входящими в его состав.

Д.-Д.Б. Базаров относил к/г 13/1, 13/2 к литологическому слою V и заканчивал формирование I террасы отложениями, включающими эти горизонты. Но на участке 1 отложения слоя V нами не отмечены. В то же время разрез кв. 25 (Н) показывает, что к/г 13/1 и 13/2 лежат с размывом на отложениях, относящихся к слою VI. На протяжении кв. 7–62 (участок 1) ниже этих горизонтов культурные отложения не выделяются. Важно, что горизонтальное простирание к/г 13 (и его производных) повторяет конфигурацию

вышележащих к/г и прослоев между ними, что особенно показательно на фрагменте расположения кв. 34–44 в месте увеличения общей мощности вскрытого разреза до 3,5 м. Вышесказанное позволяет отнести к/г 13/1, 13/2 к литологическому слою IV.

— Слой VI «проявляется» в разрезе фрагментами. Он выделяется на профиле по линии 17 (квадраты Н–Р), в разрезе квадрата 25 (Н), а также на профиле по линии 88 (квадраты Б–Ж) (см. рис. 3). Слой залегает на галечнике литол. слоя VII, и его с размывом перекрывают отложения слоев I–IV. При этом мощности последних пропорционально уменьшаются при перекрытии (профиль 17). Взаимоотношения слоев V и VI, показанные на профиле 88, не совсем ясны, но точно видно, что слой V перекрывает песчаные отложения слоя VI.

— Литологические слои III, IV, V имеют постепенные переходы между собой, и между ними не отмечаются поверхностей размыва или замещения.

По наблюдениям Д.Д.-Б. Базарова, пойменные отложения I террасы повсеместно разорваны мерзлотными трещинами и клиньями, устья которых расположены на двух уровнях — на глубине 0,7–0,8 м и 1,5–1,6 м. Наиболее мощными являются трещины первого уровня, деформирующие культурные слои 2–4 и прорывающие в некоторых местах всю толщу пойменных отложений. Длина трещин достигает 1,2–1,8 м. Их происхождение Д.Д.-Б. Базаров связывал с позднеголоценовым похолоданием. Мерзлотные деформации второго уровня нарушают ниже лежащие слои на 0,2–0,6 м. Они имеют сложную форму с многочисленными ответвлениями от основного ствола и наклонное залегание [Геология и культура... 1982].

Рассматривая стратиграфию памятника, попробуем учитывать разность мощности литологического слоя II (от 0,4 м до 1,2 м). В разрезах отмечено, что мерзлотные деформации первого уровня в большинстве случаев начинаются в кровле слоя III и пронизывают слои III, IV, V, что может говорить о периоде позднеголоценового похолодания, установившемся после образования данных отложений. В этом случае мерзлотные деформации второго уровня, меньшей интенсивности, можно отнести как раз к норильской криостадии.

Таким образом, отложения разрезов Студеного-1, по нашему мнению, можно разделить на следующие толщи: покровные отложения I и II слоя (последний, возможно, эолового генезиса); аллювиальные отложения пойменной фации (слои III–V); отложения прирусловой фации (слой VI); отложения русловой фации (слой VII). Предложенная схема поддерживается и прослеживаемой динамикой смены палеорастительных ландшафтов.

В результате детальных палинологических исследований отложений I террасы р. Чикой по двум разрезам поселения Студеное-1 получены развернутые спорово-пыльцевые диаграммы, по которым выделяются зоны, характеризующие этапы развития растительности. Насыщенность спорами и пылью разрезов непостоянна. Репрезентативное количество спор и пыльцы в отложениях разреза, позволяющее выполнить статистическую обработку, установлено в иловатых прослоях и супесях. В ряде интервалов, как в культурных горизонтах, так и межкультурных прослоях, отложения содержали единичные экземпляры миоспор.

Снизу вверх по разрезам на основе изменения общего состава спорово-пыльцевых спектров

Участок 1 (рис. 4)

S 1	Береза
S 2	Единичные экземпляры четвертичной пыльцы
S 3	Сосна — Лиственница — Кедр — Ель — Пихта;
S 4	Полынь — Разнотравье
S 5	Единичные экземпляры четвертичной пыльцы
S 6.1	Мезозойские миоспоры

Участок 2 (рис. 5)

S 1	Береза — Лиственница — Кедр — Пихта
S 2	Береза — Лиственница — Сосна — Кедр
S 3	Сосна — Лиственница — Кедр — Ель — Пихта
S 4	Полынь — Разнотравье
S 5	Единичные экземпляры четвертичной пыльцы
S 6.2	Сложноцветные — Ива — Мхи — Лиственница — Ель — Кедр, мезозойские миоспоры

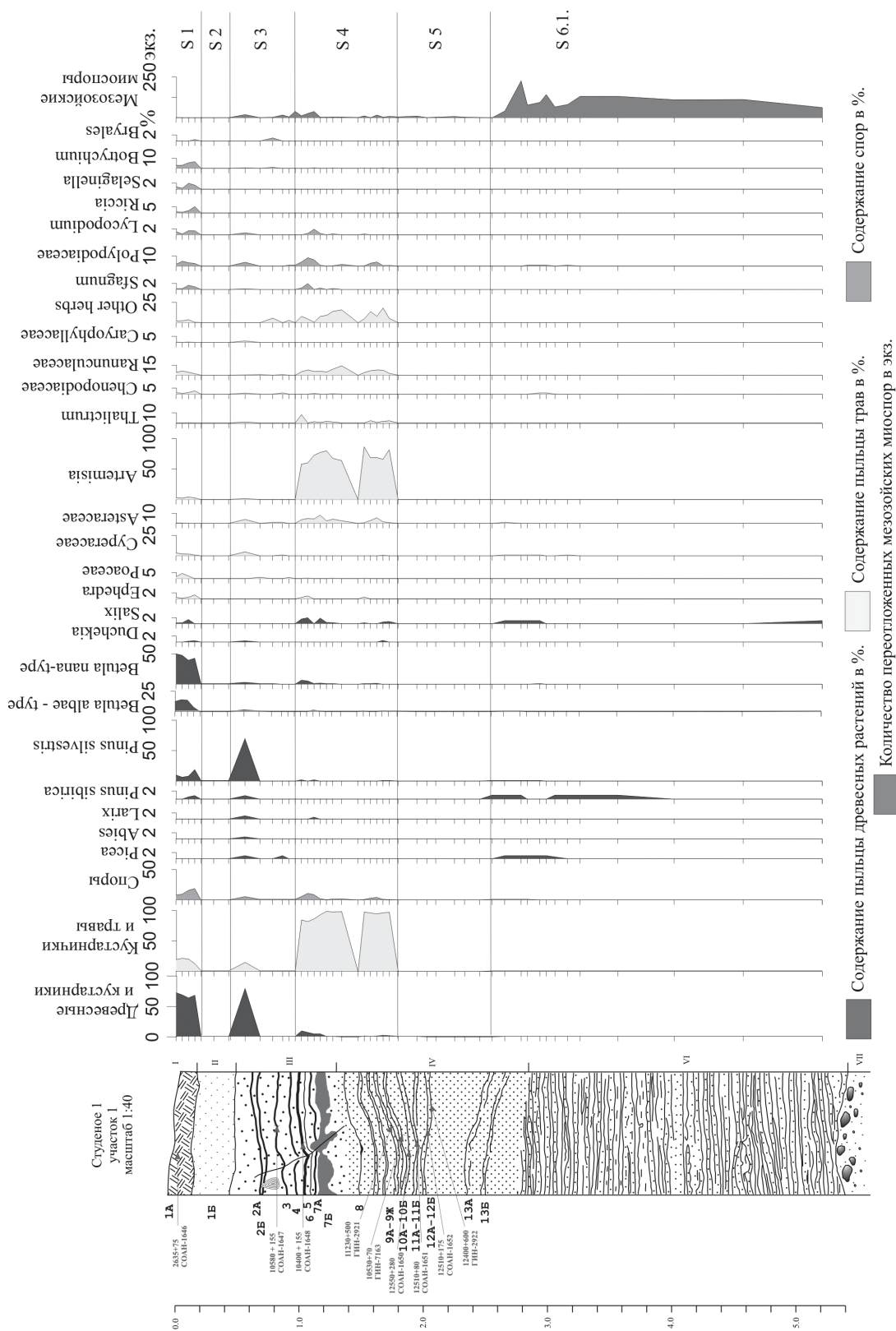


Рис. 4. Спорно-пыльцевая диаграмма поселения Студеное 1 (участок 1)

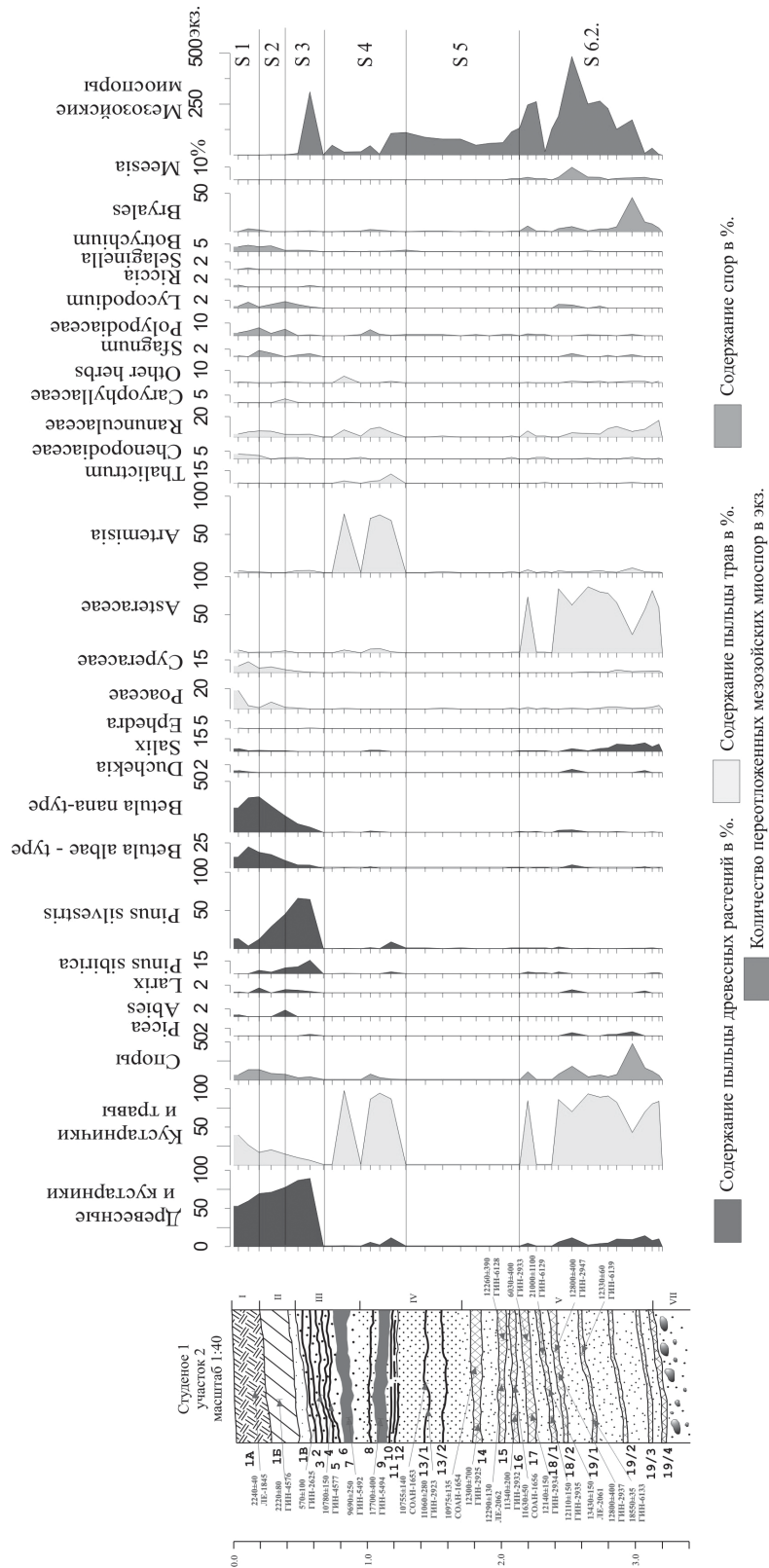


Рис. 5. Спорово-пыльцевая диаграмма поселения Студеное 1 (участок 2)

и их доминант выделены группы спектров S 6–S 1, каждая из которых соответствует определенному этапу развития растительности. Мезозойские миоспоры фиксировались отдельно от общего количества четвертичных пыльцы и спор.

Исследования верхней части разрезов двух участков террасы поселения Студеное-1 выявили наличие близких групп спектров (S 1–S 5). Группа S 6.2 из разреза участка 2 по спорово-пыльцевым характеристикам отличается от S 6.1 участка 1 и в разрезе 1 не установлена. Более информативным при палинологическом изучении определен разрез участка 2, в то же время данные по участку 1 играют роль верификатора. (При описании палинологических данных приводятся старое (арабские цифры) и новое обозначения нумерации литологических слоев.)

В основании разреза участка 2 (глуб. 3,20–2,0 м) литологический слой 7 (V) включает иловатые прослойки (к/г позднего палеолита 17, 18/1, 18/2, 19/1–19/4) и характеризуется группой спектров S 6.2. Доминирует в спектрах пыльца сложноцветных, преимущественно цикориевых. Незначительное содержание пыльцы древесных растений, повышенное содержание пыльцы ивы и спор мхов позволяют судить о преимущественном развитии тундровых и лесотундровых ландшафтов. Единичные экземпляры пыльцы ели и лиственницы указывают на то, что они, несомненно, присутствовали в составе растительности. Большие площади заняты кустарниковыми зарослями из ольховника, кустарниковых березок и ивняка с моховыми группировками, включая мхи голарктического рода Меезия, что указывает на довольно прохладные и влажные климатические условия. (Для сравнения: современная экологическая приуроченность меезиевых мхов — большей частью редкостойные заболоченные лиственничники, сырые ивняки, ложбины стоков и ручьев, различные кустарничково-осоково-моховые тундры, заболоченные берега озер.) В Прибайкалье в это время существовали преимущественно тундровые и лесотундровые ландшафты и ландшафты северо-таежного облика [Безрукова 1999].

Выше по разрезу (2,0–1,20 м) тонкозернистые пески литол. слоев 6 и 5 (IV) с к/г 16–13 содержат группу спектров S 5, в которых установлены единичные экземпляры четвертичной пыльцы и мезозойские миоспоры. Спектры этой пач-

ки отложений обедненные, тем не менее сравнение спектров литол. слоев III и V свидетельствует, что за период формирования слоя IV произошли климатические изменения, что отражается в смене растительности: исчезает древесная флора, преобладают степные виды трав (полынь, василистник), исчезают из спектров меезиевые мхи, которые стабильно присутствовали в условиях влажного и холодного времени. Климат становится суше.

Верхняя часть литол. слоя 4 (IV) и нижняя часть слоя 3 (III) (1,20–0,8 м) к/г 12-4 представлены группой S 4, спорово-пыльцевые спектры которых характеризуются абсолютным господством пыльцы трав представителей лугово-степного разнотравья на фоне доминирования в них пыльцы полыни. Хорошее наполнение пылью проб, отсутствие спор холодолюбивых мхов, а также незначительное количество (до 10%) пыльцы древесных растений в палеоспектрах по сравнению с субрецентными (поверхностными) спектрами, адекватно отражающими лесной тип растительности, позволяют реконструировать открытые степные ландшафты, распространенные на большой территории.

Резкая смена растительных ландшафтов на рубеже неоплейстоцена — голоцена, фиксируемая по палинологическим данным Студеного-1, подтверждается и данными, полученными Ф.И. Хензыхеновой по мелкой фауне поселения Студеное-2 (III надпойменная терраса р. Чикой). Фауна верхнего литол. слоя 2, датированного финалом плейстоцена — голоцена (10,8–8,0 тыс. л.н.), представлена лесными видами, в то время как видовой состав нижележащих отложений с к/г 3–4/5 (верхнепалеолитического времени. — *Авт.*), свидетельствует о существовании сухостепных ландшафтов и аридного климата [Хензыхенова, Константинов, Разгильдеева 1999]. Отложения голоценового возраста поселений Студеное-1, 2 формировались одновременно, и выявленные особенности отражают закономерную смену растительных ландшафтов, что является следствием глобального потепления. Аналогичная смена холодного и влажного климата на теплый и сухой с распространением злаковых степей отмечена на рубеже 11 тыс. л.н. и по материалам Монголии [Виппер и др. 1981].

Верхняя часть литологического слоя III (0,8–0,45 м) с к/г 2, 3 включает группу спектров S 3,

характеризующих становление древесной растительности в регионе. Об этом свидетельствует наполнение спектров проб пылью сосны, кедра, березы и лиственницы с присутствием спор лесных плаунов. Деграция многолетне-мерзлотных пород позволила широко расселиться сосне и кедру.

Литологический слой II (0,45–0,25 м) — тонкая, пылеватая супесь палево-бурого цвета — включает культурные горизонты эпохи ранней бронзы I Б, I В. В отложениях установлена группа спектров S 2, отражающих произрастание сосново-березово-лиственничных редколесий. Расширяются ареалы с кустарниковой березкой. Климатические условия ухудшаются, становится влажнее и прохладнее.

Почвенно-растительный слой, представленный дерниной и серой супесью с небольшими вкраплениями угля, с культурным горизонтом I А эпохи бронзы включает спектры S 1. Их состав отличается от предыдущих спектров наполнением пылью травянистых растений — представителей осоковых и злаковых группировок с преобладанием культурных злаков, что подтверждает сведения о запашках конца XIX — начала XX в. на данной территории. Значительных изменений в ландшафтно-климатической обстановке при этом не происходило.

Отражение состава современной растительности наблюдается в субрецентных (1 см почвенно-растительного слоя и современный аллювий) спорово-пыльцевых пробах, а также в отвалных частях разреза, где в спектрах господствующее положение занимает пыльца сосны.

При анализе данных спорово-пыльцевых диаграмм, развития динамики и характера отложений, зафиксированных в профилях стратиграфических разрезов, обозначилась проблема уточнения периода формирования черных палеопочвенных прослоек в отложениях I надпойменной террасы р. Чикой и соответствия возраста раннеэоценовых культурных горизонтов Студеного-1 раннему голоцену.

Опираясь на результаты проведенных комплексных работ можно предложить следующую схему расчленения отложений I надпойменной террасы р. Чикой. Литол. слой I, II относятся к голоцену, слой III, IV, V формировались во время окончания сарганского криохрона. Галечники слоя VII образовывались во время каргинско-

го термохрона, к окончанию которого можно предположительно отнести косослоистые пески слоя VI.

Таким образом, возраст отложений с к/г 12–2 становится более древним. Они из голоцена переходят в позднесарганское время. В качестве дополнительных аргументов рассмотрим абсолютные датировки. На разрезах участков 1 и 2 вынесены все известные пробы на абсолютный возраст без разбраковки (см. рис. 2, 3). Они распределены по культурным горизонтам без указания квадратов и профилей, где были отобраны. По представлениям С.М. Цейтлина, Д.-Д.Б. Базарова, Л.Д. Базаровой, М.В. Константинова отложения, вмещающие к/г 5, 6, 7, образовались в атлантическую стадию голоцена [Константинов 1994: 86] и полученные радиоуглеродные даты в 10–11 тыс. л.н. считаются несколько удревненными. В то же время подавляющее число датировок указывает на позднеплейстоценовый возраст слоев III, IV, V (см. табл.).

Одним из аргументов некорректности радиоуглеродных дат и голоценового возраста черных прослоек, с которыми связаны археологические материалы, выступало и наличие ранней керамики (к/г 9 а-з, Студеное-1, участок 1). Однако к настоящему времени уже общепризнанна точка зрения появления ранней керамики на рубеже 14–13 тыс. л.н. [Кузьмин 2000]. На ближайших к Западному Забайкалью территориях керамика уже в устоявшихся формах и выразительной орнаментации присутствует на Верхнем Витиме — Усть-Каренга (сл. 7, дата по C^{14} 11–12 тыс. л.н.) [Ветров 2006].

Археологические материалы к/г 13/2–3 (относимые авторами раскопок к раннему мезолиту — позднему неолиту) демонстрируют устойчивые приемы техники расщепления каменного сырья и вторичной обработки изделий, характерные для забайкальских памятников сарганского времени. В коллекциях особо выделяются изделия из кости: «крупное пазовое роговое орудие; двухпазная костяная основа наконечника стрелы; рыболовные крючки из рожков косули; два костяных стерженька от сложносоставных крючков; охотничья заколка-укэн» [Константинов и др. 2003: 12], наличие которых, наряду с костями и чешуей рыб, а также остатками хозяйственных структур, в определенной степени способствовало выделению мезолитического периода.

Сводная таблица данных по материалам поселения Студеное-1								
Данные по М.В. Константинову, 1994 г.			Новые данные					
к/г	Лит слой	Геологический этап	Археологический период	Абсолютный возраст (тыс. л.н.)	Возраст по радиоуглеродным датам	Лит слой	Геологический этап	Характеристика растительности
1А	1	Субатлантический	Поздняя бронза	2,8–2,0	1130±70 2240±40 2635±75	I	Голоценовый термохрон	Березово-лиственные леса; в горах пихта
1Б, 1В	2	Суббореальный	Ранняя бронза	3,8–2,8	2280±80	II		Сосново-березово-лиственные редколесья
							Бореальный период Голоценового термохрона	
2, 3	3	Суббореальный	Поздний неолит	4,0–3,8	10580±155 (к/г 3)	III		Березово-сосновые леса; в горах ель, кедр, пихта
4–5	3	Атлантический оптимум	Поздний неолит	4,5–3,8	10400±155 (к/г 5)	III	Норильская криостадия Сартанского криохрона	
6–7	3	Атлантический оптимум	Средний неолит	5,5–4,5	10780±150 (к/г 6) 9890±250 (к/г 7) 10450±300 (к/г 7б)	III		Лугово-степные, разно-травно-полюнные ценозы
8–9	4	Атлантический оптимум	Ранний неолит	6,5–5,5	17700±400 (к/г 9)	IV	Таймырская термостадия Сартанского криохрона	
10–12	4	Атлантический оптимум	Поздний мезолит	8,0–6,5	12550±280 (к/г 10) 12510±80 (к/г 11) 12510±175 (к/г 12)	IV		Обедненные образцы, которые содержат единичные споры и пыльцу, по которым можно делать предварительные выводы об общей динамике развития и смены растительных ландшафтов (см. рис. 4, 5)
13/1, 13/2	5	Бореальный разрыв	Ранний мезолит	10,3–8,0			Таймырская термостадия Сартанского криохрона	
14–16	6	Таймырский	Конец палеолита	12,0–10,8	11395±100, 10975±135, 12300±700 (к/г 14); 14900±2000, 11300±180, 11660±400, 12290±130 (к/г 15) 11340±200, 11630±50 (к/г 16)	V	Таймырская термостадия Сартанского криохрона	
17	6	Холодный	Конец палеолита	12,2–12,0	12140±150, 12130±150	V	Криостадия Сартанского криохрона	Еловые и лиственные редколесья с подлеском из душилки, ивняки с моховыми группировками
18/1–19/4	7	Кокоревский	Конец палеолита	12,7–12,2	12110±180 (к/г 18/1) и т.д.	V	Кокоревская термостадия Сартанского криохрона	

Таким образом, результаты комплексных исследований поселения Студеное-1 обозначили ряд проблем, которые требуют дополнительного изучения. Аналогичные исследования в настоящий момент проводятся на памятниках Усть-Мензинско-

го археологического района, в частности поселения Усть-Менза-1, которое приурочено к отложениям I надпойменной террасы р. Мензы. Изложенные результаты носят проблемный характер и пока поставили больше вопросов, чем дали ответов.

ЛИТЕРАТУРА

Базаров Д.Д.-Б., Константинов М.В., Иметханов А.Б. и др. Геология и культура древних поселений Забайкалья: К XI конгрессу INQUA (Москва, 1982). Новосибирск, 1982.

Базаров Д.Д.-Б. Кайнозой Прибайкалья и Западного Забайкалья. Новосибирск, 1986.

Безрукова Е.В. Палеогеография Прибайкалья в позднеледниковье и голоцене. Новосибирск, 1999.

Воробьева Г.А., Горюнова О.И. Корреляция голоценовых отложений на многослойных памятниках Приольхонья // Проблемы исследования каменного века Евразии: Тез. докл. краев. конф., 12–15 мая 1984. Красноярск, 1984. С. 150–153.

Воробьева Г.А., Горюнова О.И. Многослойные поселения побережья Чивыркуйского залива оз. Байкал: стратиграфия, палеогеография, археология // Байкал и горы вокруг него: Тез. докл. геоморф. сем. 4–6 окт. Иркутск, 1994. С. 85–87.

Ветров В.М. Проблемы сходства в технике изготовления и орнаментации сосудов ранних керамических комплексов Северной Евразии // Современные проблемы археологии России: Сб. науч. тр. Новосибирск, 2006. Т. 1. С. 173–176.

Виллер П.Б., Дорофеев Н.В., Лийва А. и др. Палеогеография голоцена Центральной Монголии // Изв. АН ЭССР. Сер. биол. 1981. № 30. С. 74–82.

Константинов М.В. Каменный век восточного региона Байкальской Азии: К всемирному археологическому интер-конгрессу (Забайкалье, 1996). Улан-Удэ; Чита, 1994.

Константинов М.В., Константинов А.В., Васильев С.Г., Екимова Л.В., Разгильдеева И.И. Под покровительством Большого Шамана: Археологическое путешествие по Забайкалью: Путеводитель полевой экскурсии международного симпозиума «Древние культуры Азии и Америки» Чита, 26 августа — 1 сентября 2003 г. Чита, 2003.

Кузьмин В.Я. Хронология начального неолита Восточной Азии по радиоуглеродным данным // Палеогеография каменного века. Корреляция природных событий и археологических культур палеолита Северной Азии и сопредельных территорий: Матер. междунар. конф. Красноярск, 2000. С. 75–76.

Хензыхенова Ф.И., Константинов А.В., Разгильдеева И.И. Новые данные по фауне мелких млекопитающих со стоянки Студеное-2 // Молодая археология и этнология Сибири / Материалы XXXIX РАЭСКа. Чита, 1999. Ч. 1.